

ИЗОГЕОМЕТРИЧЕСКАЯ ИНТЕРПОЛЯЦИЯ РАЦИОНАЛЬНЫМИ СПЛАЙНАМИ

Б.И.Квасов, С.А.Яценко

Одним из наиболее распространенных способов приближения неточных функций является метод интерполяции кубическими сплайнами класса C^2 . Достаточные для многих приложений свойства гладкости таких сплайнов сочетаются с простотой их реализации на ЭВМ и высокой точностью получаемых результатов. Однако в ряде случаев поведение кубических сплайнов не согласуется с качественными характеристиками исходных данных. Визуально это проявляется в присутствии выбросов, осцилляций, различных отклонений, не характерных для исходного набора точек, а математически может быть выражено как немонотонность и наличие точек перегиба на участках монотонности и выпуклости исходных данных.

Попытки улучшить геометрические характеристики кубических сплайнов предпринимались давно. С этой целью были введены различные обобщения кубических сплайнов. Одной из первых работ здесь, по-видимому, является статья [1] по кубическим сплайнам с натяжением. Следует отметить также работы [2-4]. Авторы всех этих работ вводили в структуру сплайна те или иные параметры с тем, чтобы управлять качественным поведением получаемой кривой. Однако они не давали никаких процедур автоматического выбора указанных параметров, ограничиваясь рекомендациями об их выборе в режиме диалога. Естественно, это было связано с недостаточной формализованностью понятия геометрических характеристик поведения кубического сплайна и трудностями в разработке алгоритмов автоматического выбора параметров сплайна.

По-видимому, впервые задача построения сплайнов с заданными геометрическими характеристиками была формализована в работах

А.И.Гребенникова [5,6], где она получила название задачи изогеометрической аппроксимации. Основываясь на методе локальной аппроксимации В-сплайнами, автор этой работы, в частности, показал, что на достаточно детальной сетке узлов кубический сплайн сохраняет геометрические свойства исходных данных.

Авторы работы [7] дали эффективное частичное решение задачи изогеометрической интерполяции с помощью эрмитова кубического сплайна. Разработанный ими алгоритм являлся локальным и давал монотонную кривую класса C^1 . Он, однако, не сохранял выпуклость исходных данных. Относительно недавно этот алгоритм был улучшен в [8]. В дальнейшем рядом авторов [9-11] задача изогеометрической интерполяции решалась также с использованием параболических сплайнов. Та же задача решалась с помощью специальных рациональных сплайнов в [12-14].

Определенным прогрессом на пути решения задачи изогеометрической интерполяции с помощью сплайнов класса C^2 явилось изобретение кубических сплайнов с дополнительными узлами переменного порядка [15], включающих как частный случай кусочно-линейную интерполяцию. На основе исследования определяющей системы уравнений для обобщенного кубического сплайна класса C^2 в [16] получены достаточные условия, гарантирующие сохранение сплайном свойств монотонности и выпуклости исходных данных. Это позволяет автоматизировать процесс выбора параметров обобщенных кубических сплайнов, в частности, рациональных сплайнов и сплайнов с дополнительными узлами. К сожалению, указанный алгоритм работает фактически только на участках монотонности и/или выпуклости данных, не охватывая случай произвольных данных.

В данной работе предлагается определение функций с изогеометрией, отличное от использовавшегося в [6]. Выявлены необходимые и достаточные условия существования функций с изогеометрией. На основе кубических рациональных сплайнов с дополнительными узлами класса C^2 разработан алгоритм решения задачи изогеометрической интерполяции для произвольного набора данных. Как исходный этап он содержит построение стандартного интерполяционного кубического сплайна, хотя могут быть использованы и другие способы задания начального приближения. Эффективность предлагаемого метода иллюстрируется рядом примеров.

§1. Класс функций с изогометрией

Пусть на плоскости R^2 фиксирована последовательность точек $P_i = (x_i, y_i)$, $i = 0, 1, \dots, N$, у которых совокупность абсцисс x_i задает на отрезке $[a, b]$ разбиение $\Delta: a = x_0 < x_1 < \dots < x_N = b$. Полагая $h_i = x_{i+1} - x_i$, введем обозначения для первых двух разделенных разностей $\Delta_i = (y_{i+1} - y_i) / h_i$, $i = 0, 1, \dots, N-1$; $\delta_i = (\Delta_i - \Delta_{i-1}) / (h_{i-1} + h_i)$, $i = 1, 2, \dots, N-1$. Через $C^2[a, b]$ обозначим класс дважды непрерывно дифференцируемых на $[a, b]$ функций. Как обычно, будем говорить, что исходные данные монотонно возрастают (убывают) на подотрезке $[x_n, x_k]$, $k > n$, если $\Delta_i > 0$ ($\Delta_i < 0$) для $i = n, \dots, k-1$, и выпуклы вниз (вверх) на $[x_n, x_k]$, $k > n+1$, если $\delta_i > 0$ ($\delta_i < 0$), $i = n, \dots, k-2$.

Задачей изогометрической интерполяции будем называть задачу об отыскании функции $S(x)$ нужной гладкости такой, что $S(x_i) = y_i$, $i = 0, 1, \dots, N$, и $S(x)$ сохраняет форму исходных данных. Последнее означает, что там, где данные монотонно возрастают или убывают, $S(x)$ должна вести себя таким же образом. Аналогично на участках выпуклости (вогнутости) исходных данных $S(x)$ также должна быть выпуклой (вогнутой).

Очевидно, что решение задачи изогометрической интерполяции не единственно. Формализуем поэтому класс функций, где мы будем искать решение.

Пусть задан набор точек $V = \{P_i \mid i = 0, 1, \dots, N\}$.

ОПРЕДЕЛЕНИЕ. Множество функций $I(V)$ называется классом функций с изогометрией, если для любой $f(x) \in I(V)$ выполнены условия:

- 1) $f(x) \in C^2[a, b]$;
- 2) $f(x_i) = y_i$, $i = 0, 1, \dots, N$;
- 3) $f'(x)\Delta_i \geq 0$ при $\Delta_i \neq 0$ и $f'(x) = 0$ при $\Delta_i = 0$ для всех $x \in [x_i, x_{i+1}]$, $i = 0, 1, \dots, N-1$;
- 4) $f''(x_i)\delta_i \geq 0$, $i = 1, 2, \dots, N-1$; $f''(x)\delta_j \geq 0$, $x \in [x_i, x_{i+1}]$, $j = i, i+1$, при $\delta_i\delta_{i+1} \geq 0$; $f(x)$ имеет не более одной точки перегиба \bar{x} на интервале (x_i, x_{i+1}) при $\delta_i\delta_{i+1} < 0$, причем $f''(x)\delta_i \geq 0$ для $x \in [x_i, \bar{x}]$, а количество точек перегиба на интервале (x_{i-1}, x_{i+1}) не превосходит числа перемен знака в последовательности $\delta_{i-1}, \delta_i, \delta_{i+1}$.

ЗАМЕЧАНИЕ. При подсчете числа перемен знака в последовательности $\delta_{i-1}, \delta_i, \delta_{i+1}$ нули пропускаются.

Сформулированное определение позволяет выделить класс интерполянтов, сохраняющих геометрические свойства исходных данных V . Оно отличается от подхода [6], где для функций, имеющих определенную геометрическую структуру, строятся аппроксимации с теми же геометрическими свойствами.

Отметим, что перечисленным выше требованиям, исключая принадлежность классу $C^2 [a, b]$, удовлетворяет кусочно-линейная интерполяция исходных данных V .

Выясним необходимые и достаточные условия существования функций с изогометрией. С этой целью получим ограничения на набор исходных данных V , гарантирующих непустоту класса функций с изогометрией. Предварительно докажем несколько вспомогательных утверждений, характеризующих свойства функций с изогометрией.

ЛЕММА 1. При $\Delta_{i-1} \Delta_i \leq 0$ для изогометрии и функции $f(x)$ необходимо, чтобы $f'(x_i) = 0$.

Утверждение леммы очевидно в силу условия 3 из определения класса функций с изогометрией.

ЛЕММА 2. При $\delta_i = 0$ и $\delta_{i-1} \delta_{i+1} \geq 0$ единственной функцией с изогометрией на отрезке $[x_{i-1}, x_{i+1}]$ является прямая, проходящая через точки P_{i-1}, P_i, P_{i+1} .

ДОКАЗАТЕЛЬСТВО. Из равенства $\delta_i = 0$ следует, что точки P_{i-1}, P_i, P_{i+1} лежат на прямой $y(x) = y_i + \Delta_i(x - x_i)$. Далее, в силу условия 4 из определения функций с изогометрией, $f(x)$ на отрезке $[x_{i-1}, x_{i+1}]$ не имеет точек перегиба, т.е. $f''(x) \geq 0$, $x \in [x_{i-1}, x_{i+1}]$ или $f''(x) \leq 0$, $x \in [x_{i-1}, x_{i+1}]$. Очевидно, функция $u(x) = f(x) - y(x)$ является решением краевой задачи: $u''(x) = f''(x)$, $u(x_{i-1}) = u(x_{i+1})$. Имеем

$$u(x) = \frac{1}{x_{i+1} - x_{i-1}} \int_{x_{i-1}}^{x_{i+1}} G(x, v) f''(v) dv,$$

где $G(x, v) = (v - x_{i-1})(x - x_{i+1})$ при $v \leq x$, $G(x, v) = (v - x_{i+1})(x - x_{i-1})$ при $v \geq x$. Следовательно, если $f''(x)$ знакопостоянна на $[x_{i-1}, x_{i+1}]$ и $f''(x) \neq 0$, то $u(x_i) \neq 0$, что противоречит условию интерполяции $f(x_i) = y_i$. Таким образом, $f''(x) \equiv 0$, и, значит, $f(x)$ совпадает с $y(x)$, что и требовалось показать.

Из доказанной леммы непосредственно вытекает

СЛЕДСТВИЕ I. При $\delta_i = \delta_{i+1} = 0$ единственной функцией с изогометрией на отрезке $[x_{i-1}, x_{i+2}]$ является прямая, проходящая через точки P_j , $j = i-1, i, i+1, i+2$.

ЛЕММА 3. При $\delta_i = 0$ и $\delta_{i-1} \delta_{i+1} < 0$ для того, чтобы $f(x) \in I(V)$, необходимо выполнение одного из условий:

- 1) $f'(x_i) \delta_{i-1} > \Delta_i \delta_{i-1}$, $f''(x_i) = 0$;
- 2) $f'(x) = \Delta_i$, $f''(x) = 0$ для всех $x \in [x_{i-1}, x_{i+1}]$.

ДОКАЗАТЕЛЬСТВО. Согласно условию леммы последовательность δ_j , $j = i-1, i, i+1$, содержит одну переменную знака, что вместе с условием $\delta_i \delta_j = 0$, $j = i-1, i+1$, и свойством 4 определения класса $I(V)$ приводит к единственной возможной точке перегиба x_i , т.е. $f''(x_i) = 0$.

Предположим, что $f'(x_i) \delta_{i-1} < \Delta_i \delta_{i-1}$, и пусть для определенности $\delta_{i-1} > 0$. Тогда согласно условию 4 определения класса $I(V)$ имеем $f''(x) \geq 0$ для $x \in [x_{i-1}, x_i]$, что противоречит неравенству $f'(x_i) < \Delta_i$. Если теперь рассмотреть случай $f'(x_i) = \Delta_i$, то очевидно, что на отрезке $[x_{i-1}, x_{i+1}]$ функция $f(x)$ линейна. Лемма доказана.

ЛЕММА 4. Пусть $\delta_i \neq 0$ и $f''(x_i) f''(x) \geq 0$ при всех $x \in [z_1, z_2]$, $z_1, z_2 \in [x_i, x_{i+1}]$. Тогда для того, чтобы $f(x) \in I(V)$, необходимо выполнение одного из условий:

- 1) $f'(z_1) < \Delta_z < f'(z_2)$ для $\delta_i > 0$,
- 2) $f'(z_1) > \Delta_z > f'(z_2)$ для $\delta_i < 0$,
- 3) $f'(x) = \Delta_z$, $f''(z) = 0$ для всех $x \in [z_1, z_2]$, где $\Delta_z = [f(z_2) - f(z_1)] / (z_2 - z_1)$.

ДОКАЗАТЕЛЬСТВО. Согласно свойству 4 из определения класса $I(V)$ имеем $f''(x_i) \delta_i \geq 0$. Следовательно, $f''(x) \delta_i \geq 0$ для всех $x \in [z_1, z_2]$, $z_1, z_2 \in [x_i, x_{i+1}]$. Пусть $\delta_i > 0$. Тогда на подотрезке $[z_1, z_2]$ функция $f(x)$ выпукла вниз, т.е. $f''(x) \geq 0$. Если при этом $f''(x) \neq 0$, то получаем условие 1 леммы; если же $f''(x) \equiv 0$, то приходим к равенствам 3 леммы. Аналогичным образом из условия $\delta_i < 0$ приходим либо к условию 2, либо 3 леммы.

Из леммы 4 непосредственно вытекают

СЛЕДСТВИЕ 2. При $\delta_i \delta_{i+1} > 0$ и $f'(x_j) \neq \Delta_j, j=1, i+1$, для того, чтобы $f(x) \in I(V)$, необходимо выполнение условий

$$f'(x_i) \delta_i < \Delta_i \delta_i < f'(x_{i+1}) \delta_i.$$

СЛЕДСТВИЕ 3. При $\delta_{i-1} \delta_i > 0$ и $\delta_i \delta_{i+1} > 0$ для изогеометрии $f(x)$ необходимо выполнение неравенств

$$\min(\Delta_{i-1}, \Delta_i) \leq f'(x_i) \leq \max(\Delta_{i-1}, \Delta_i).$$

ЛЕММА 5. При $f'(x_i) = 0$ для изогеометрии $f(x)$ необходимо выполнение условий $f''(x_i) \Delta_i \geq 0, f''(x_i) \Delta_{i-1} \leq 0$.

ДОКАЗАТЕЛЬСТВО. Предположим противное, т.е. $f'(x_i) = 0$, но $f''(x_i) \Delta_i < 0$. Тогда в силу непрерывности $f'(x)$ найдется $\epsilon > 0$ такое, что $f'(x) \Delta_i < 0$ для $x \in (x_i, x_i + \epsilon)$. Однако это противоречит условию 3 из определения класса $I(V)$, и, таким образом, $f''(x_i) \Delta_i \geq 0$. Аналогично выводится условие $f''(x_i) \Delta_{i-1} \leq 0$.

ТЕОРЕМА. Для существования функции с изогеометрией необходимо и достаточно, чтобы не выполнялись условия:

- 1) $\Delta_{i-1} \Delta_i \leq 0; \Delta_{i-1} \neq 0, \delta_{i-2} \delta_i \geq 0, \delta_{i-1} = 0, i = 3, \dots, N-1;$
- 2) $\Delta_{i-1} \Delta_i \leq 0; \Delta_i \neq 0, \delta_i \delta_{i+2} \geq 0, \delta_{i+1} = 0, i = 1, \dots, N-3;$
- 3) $\delta_i \neq 0, \delta_{i-1} = \delta_{i+1} = 0, \delta_i \delta_k \geq 0, k = i-2, i+2; i = 3, \dots, N-3.$

ДОКАЗАТЕЛЬСТВО. Необходимость. Пусть $f(x) \in I(V)$ и выполнены условия 1-3 теоремы. Из первого условия по лемме 1 имеем $f'(x_i) = 0$. По лемме 2 (следствию 1) функция $f(x)$ должна быть линейной на отрезке $[x_{i-2}, x_i]$ (аналогично, в случае второго условия функция $f(x)$ будет линейной на $[x_i, x_{i+2}]$). Так как по первому условию $\Delta_{i-1} \neq 0$ (по второму - $\Delta_i \neq 0$), то в точке x_i производная $f'(x)$ разрывна и, следовательно, функция $f(x) \notin I(V)$. Выполнение третьего условия влечет стыковку в узле x_i двух прямых с различными наклонами, и, следовательно, опять получаем противоречие с предположением.

Доказательство достаточности состоит в построении функции с изогеометрией $f(x)$ по любым исходным данным, для которых не

выполнены условия 1-3 теоремы. В случае, когда исходные точки лежат на одной прямой, т.е. $\Delta_0 = \Delta_1 = \dots = \Delta_{N-1}$, очевидно, что единственной функцией с изогометрией будет эта прямая.

Предположим, что не все точки $P_i, i = 0, 1, \dots, N$, лежат на одной прямой, и рассмотрим всевозможные отрезки $[x_{m_1}, x_{m_2}]$, $0 \leq m_1 < m_2 \leq N$, где $x_{m_1}, x_{m_2} \in \Delta$, для которых выполнено одно из следующих соотношений:

- 1) $m_2 = m_1 + 1, \Delta_{m_1} = 0$;
- 2) $m_2 = m_1 + 2, m_1 \geq 1, m_2 \leq N-1, \delta_{m_1+1} = 0, \delta_{m_1} \delta_{m_2} \geq 0$;
- 3) $m_2 = m_1 + 3, m_1 \leq N-3, m_2 \geq 3, \delta_{m_1+1} = \delta_{m_1+2} = 0$.

Нетрудно убедиться, что функция с изогометрией $f(x)$ на таких отрезках линейна, т.е. $f(x) = y_{m_1} + \Delta_{m_1}(x - x_{m_1}), x \in [x_{m_1}, x_{m_2}]$. В частности, $f'_k = \Delta_{m_1}, f''_k = 0, k = m_1, m_2$, и по условиям теоремы имеют место неравенства:

$$f'_k \Delta_{m_1-1} \geq 0 \text{ при } m_1 \geq 1,$$

$$f'_k \Delta_{m_2} \geq 0 \text{ при } m_2 \leq N-1$$

(здесь и в дальнейшем используются обозначения $f'_j = f'(x_j), f''_j = f''(x_j), f^{(r)}_j = f^{(r)}(x_j)$).

Для любых двух отрезков $[x_{m_1}, x_{m_2}]$ и $[x_{m_3}, x_{m_4}]$, на которых функция $f(x)$ оказалась линейной, возможен один из двух случаев:

$$[x_{m_1}, x_{m_2}] \cap [x_{m_3}, x_{m_4}] = \emptyset,$$

$$[x_{m_1}, x_{m_2}] \cap [x_{m_3}, x_{m_4}] \neq \emptyset.$$

В последнем случае в силу условий теоремы $\Delta_{m_1} = \Delta_{m_3}$, т.е. $f(x)$ линейна на $[x_{m_1}, x_{m_4}]$.

Таким образом, нами выделены участки линейности $f(x)$ в тех узлах x_i сетки Δ , где $\Delta_{i-1} \Delta_i < 0$, положим $f'_i = 0$. Это не будет противоречить сказанному выше, так как по условиям теоремы на участках линейности таких узлов не возникает.

Определим теперь допустимые значения $f^{(r)}_i, r = 1, 2$, в тех узлах сетки Δ , где они не были заданы ранее. Выбор этих значений подчиним следующим ограничениям:

$$\min(\Delta_{i-1}, \Delta_i) < f'_i < \max(\Delta_{i-1}, \Delta_i) \text{ и } \delta_i f''_i \geq 0 \text{ при } \delta_i \neq 0, \quad 1 \leq i \leq N-1; \quad (1)$$

$$(f'_i - \Delta_i) \delta_{i-1} > 0, f'_i \Delta_i \geq 0, f''_i = 0 \text{ при } \delta_i = 0, \delta_{i-1} \delta_{i+1} < 0, \quad 2 \leq i \leq N-2; \quad (2)$$

$$\left. \begin{aligned} (f'_1 - \Delta_1) \delta_2 < 0, f'_1 \Delta_1 \geq 0, f''_1 = 0 \text{ при } \delta_1 = 0, \\ (f''_{N-1} - \Delta_{N-1}) \delta_{N-2} > 0, f''_{N-1} \Delta_{N-1} \geq 0, f''_{N-1} = 0 \text{ при } \delta_{N-1} = 0; \end{aligned} \right\} \quad (3)$$

$$\left. \begin{aligned} (\Delta_0 - f'_0) \delta_1 > 0, f'_0 \Delta_0 \geq 0 (\Delta_0 \neq 0), f''_0 \delta_1 \geq 0 \text{ при } \delta_1 \neq 0, \\ (\Delta_0 - f'_0) \delta_2 < 0, f'_0 \Delta_0 \geq 0 (\Delta_0 \neq 0), f''_0 \delta_2 \leq 0 \text{ при } \delta_1 = 0, \delta_2 \neq 0; \end{aligned} \right\} \quad (4)$$

$$\left. \begin{aligned} (f''_N - \Delta_{N-1}) \delta_{N-1} > 0, f''_N \Delta_{N-1} \geq 0 (\Delta_{N-1} \neq 0), f''_N \delta_{N-1} \geq 0 \\ \text{при } \delta_{N-1} \neq 0, \\ (f''_N - \Delta_{N-1}) \delta_{N-2} < 0, f''_N \Delta_{N-1} \geq 0 (\Delta_{N-1} \neq 0), f''_N \delta_{N-2} \leq 0 \\ \text{при } \delta_{N-1} = 0, \delta_{N-2} \neq 0. \end{aligned} \right\} \quad (5)$$

Нетрудно убедиться, что выполнение этих ограничений согласуется с необходимыми условиями леммы 3,4 и следствия 2,3.

В результате для окончания построения функции с изогеометрией $f(x)$ достаточно, исключив из рассмотрения участки линейности $f(x)$, определить $f(x)$ на произвольном подотрезке $[x_i, x_{i+1}]$ для следующих возможных конфигураций исходных данных:

A) $\delta_i \delta_{i+1} > 0, 0 \leq i \leq N-1$;

B) $\delta_i = 0, \delta_{i-1} \delta_{i+1} < 0, 1 \leq i \leq N-1$;

B) $\delta_i \delta_{i+1} < 0, 1 \leq i \leq N-2$

(при $i=0, N$ формально полагаем $\delta_i = f''_i$).

Случай A. В силу ограничений (I)-(B) имеют место неравенства:

$$\min(f'_i, f'_{i+1}) < \Delta_i < \max(f'_i, f'_{i+1}), \Delta_i f''_j \geq 0, j = i, i+1; \quad (6)$$

$$f''_j / (f'_{i+1} - f'_i) \geq 0, j = i, i+1. \quad (7)$$

Кроме того, в соответствии с определением функции с изогеометрией должны выполняться соотношения

$$f''(x) f''(x_j) \geq 0, j = i, i+1; x \in [x_i, x_{i+1}]. \quad (8)$$

Следовательно, в данном случае задача построения функции с изогеометрией сводится к решению на $[x_i, x_{i+1}]$ задачи эрмитовой

интерполяции по заданным значениям $f_j^{(r)}$, $r = 0, 1, 2$; $j = i, i+1$, с дополнительными ограничениями (6)–(8).

В случае В легко проверить, что на каждом из двух рассматриваемых здесь отрезков $[x_{i-1}, x_i]$, $[x_i, x_{i+1}]$ в силу ограничений (1)–(5) условия (6), (7) выполнены и мы приходим к той же задаче эрмитовой интерполяции с ограничениями (6)–(8).

Введением на прямой, соединяющей точки P_i, P_{i+1} , дополнительной точки перегиба, расширяющей сетку Δ , случай В сводится к случаю Б.

Может быть указано достаточно много способов решения сформулированной выше задачи эрмитовой интерполяции с ограничениями (6)–(8). Один из эффективных методов излагается в следующем параграфе, что и позволит закончить доказательство теоремы.

§2. Решение задачи эрмитовой интерполяции с ограничениями

Вопрос о локальном построении функции с изогометрией будем решать с помощью рациональных сплайнов [2, 18].

На отрезке $[x_i, x_{i+1}]$ рассмотрим функцию

$$S(x) = \begin{cases} S(x, x_i, x_{i+1}) & \text{при } x \in [x_i, x_{i+1}]; \\ S(x, x_{i-1}, x_{i+1}) & \text{при } x \in [x_{i-1}, x_{i+1}], \end{cases}$$

где
$$S(x, x_j, x_{j+1}) = A_j t + B_j (1-t) + \frac{C_j t^3}{1+p_j(1-t)} + \frac{D_j (1-t)^3}{1+q_j t};$$

$t = (x-x_j)/(x_{j+1}-x_j)$; p_j, q_j – заданные числа, $0 \leq p_j, q_j < \infty$, и $S^{(r)}(x_{i-1}, 0) = S^{(r)}(x_{i+1}, 0)$, $r = 0, 1, 2$. Потребуем, чтобы рациональный сплайн $S(x)$ удовлетворял условиям интерполяции $S^{(r)}(x_j) = f_j^{(r)}$, $r = 0, 1, 2$; $j = i, i+1$.

В соответствии с неравенствами (6), (7) будем считать, что $S'_i \cdot S'_{i+1} \geq 0$ и

$$\min(S'_i, S'_{i+1}) < \Delta_i < \max(S'_i, S'_{i+1}), \quad (9)$$

$$S''_j / (S'_{i+1} - S'_i) \geq 0, \quad j = i, i+1. \quad (10)$$

Функция $S(x)$ с учетом параметра x_{i+1} , определяющего положение точки склейки сплайна, имеет 13 параметров. Требование интерполяции в x_i, x_{i+1} и условия непрерывности сплайна и его первых двух производных в узле x_{i+1} приводят к системе из 9 уравне-

ний. Остающиеся свободными параметры используем для удовлетворения условий изогеометрии, упрощения расчетных формул и минимизации погрешности приближения.

Следуя [18], запишем выражение для $S(x, x_j, x_{j+1})$ в виде:

$$S(x, x_j, x_{j+1}) = S_j(1-t) + S_{j+1}t + C_j \left[\frac{t^3}{1+p_j(1-t)} - t \right] + D_j \left[\frac{(1-t)^3}{1+q_j t} - (1-t) \right],$$

где

$$C_j = \frac{-(3+q_j)(S_{j+1}-S_j) + (x_{j+1}-x_j)[S'_j + (2+q_j)S'_{j+1}]}{(2+p_j)(2+q_j)-1},$$

$$D_j = \frac{(3+p_j)(S_{j+1}-S_j) - (x_{j+1}-x_j)[S'_{j+1} + (2+p_j)S'_j]}{(2+p_j)(2+q_j)-1}. \quad (11)$$

Имеем

$$S''(x, x_j, x_{j+1}) = C_j \frac{2p_j^2 t^3 - 6p_j(1+p_j)t^2 + 6(1+p_j)^2 t}{[1+p_j(1-t)]^3 (x_{j+1}-x_j)^2} + D_j \frac{2q_j^2(1-t)^3 - 6q_j(1+q_j)(1-t)^2 + 6(1+q_j)^2(1-t)}{(1+q_j t)^3 (x_{j+1}-x_j)^2} \quad (12)$$

и, в частности,

$$S''(x_{i1}+C) = \frac{2D_{i1}}{(x_{i+1}-x_{i1})^2} (3+3q_{i1}+q_{i1}^2), \quad S''(x_{i1}-0) = \frac{2C_i}{(x_{i1}-x_i)^2} (3+3p_i+p_i^2). \quad (13)$$

Обозначим

$$h_{i1} = x_{i1} - x_i, \quad h_i = x_{i+1} - x_{i1}, \quad \mu_{i1} = 1 - \lambda_{i1} = h_{i1}/h_i, \quad \tau_i = \frac{S'_{i+1} - \Delta_i}{S'_{i+1} - S'_i},$$

$$\alpha_i = \frac{S_{i1} - f_i}{h_{i1}}, \quad \beta_i = \frac{f_{i+1} - S_{i1}}{h_i - h_{i1}}, \quad \sigma_j = \frac{h_i S''_j}{2(S'_{i+1} - S'_i)}, \quad j = i, i+1.$$

В соответствии с неравенством (9) имеем

$$\Delta_i = \tau_i S'_i + (1-\tau_i) S'_{i+1}, \quad 0 < \tau_i < 1. \quad (14)$$

Соотношения (II), (I2) дают

$$\alpha_i = \frac{S'_{i+1} + (2+p_i)S'_i}{3+p_i} + \frac{h_{i+1}[(2+p_i)(2+q_i)-1]}{2(3+p_i)(3+3q_i+q_i^2)} S''_i, \quad (15)$$

$$\beta_i = \frac{S'_{i+1} + (2+q_{i+1})S'_{i+1}}{3+q_{i+1}} - \frac{(h_i - h_{i+1})[(2+p_{i+1})(2+q_{i+1})-1]}{2(3+q_{i+1})(3+3p_{i+1}+p_{i+1}^2)} S''_{i+1}.$$

В силу непрерывности второй производной сплайна в узле x_{i+1} из (II), (I3) имеем

$$S'_{i+1} = \left[\frac{3+3p_i+p_i^2}{3+p_i} \lambda_{i+1} S'_i + \frac{3+3q_{i+1}+q_{i+1}^2}{3+q_{i+1}} \mu_{i+1} S'_{i+1} + \frac{h_{i+1}(3+q_i)(3+3p_i+p_i^2)}{2(3+p_i)(3+3q_i+q_i^2)} \lambda_{i+1} S''_i - \frac{(h_i - h_{i+1})(3+p_{i+1})(3+3q_{i+1}+q_{i+1}^2)}{2(3+q_{i+1})(3+3p_{i+1}+p_{i+1}^2)} \mu_{i+1} S''_{i+1} \right] \times \left(\frac{3+3p_i+p_i^2}{3+p_i} \lambda_{i+1} + \frac{3+3q_{i+1}+q_{i+1}^2}{3+q_{i+1}} \mu_{i+1} \right)^{-1}. \quad (16)$$

Условие непрерывности $S(x)$ в узле x_{i+1} $S(x_{i+1}-0) = S(x_{i+1}+0)$ запишем в виде $f_i + \alpha_i h_{i+1} = f_{i+1} - \beta_i (h_i - h_{i+1})$ или $(\Delta_i - \alpha_i) \mu_{i+1} = (\beta_i - \Delta_i) \lambda_{i+1}$.

Подставляя сюда выражения для α_i, β_i из (I5) и учитывая (I6), получим кубическое уравнение относительно μ_{i+1}

$$\bar{A}_i \mu_{i+1}^3 + \bar{B}_i \mu_{i+1}^2 + \bar{C}_i \mu_{i+1} + \bar{D}_i = 0,$$

где

$$\bar{A}_i = \left(\frac{3+3q_{i+1}+q_{i+1}^2}{3+q_{i+1}} - \frac{3+3p_i+p_i^2}{3+p_i} \right) \left[\bar{\sigma}_{i+1} \frac{(2+p_{i+1})(2+q_{i+1})-1}{3+3p_{i+1}+p_{i+1}^2} - \bar{\sigma}_i \frac{(2+p_i)(2+q_i)-1}{3+3q_i+q_i^2} \right] + \left(\frac{1}{3+p_i} - \frac{1}{3+q_{i+1}} \right) \left[\bar{\sigma}_i \frac{(3+q_i)(3+3p_i+p_i^2)}{3+3q_i+q_i^2} - \bar{\sigma}_{i+1} \frac{(3+q_{i+1})(3+3p_{i+1}+p_{i+1}^2)}{3+3p_{i+1}+p_{i+1}^2} \right]$$

$$- \bar{\sigma}_{i+1} \left. \frac{(3+p_{i1})(3+3q_{i1}+q_{i1}^2)}{3+3p_{i1}+p_{i1}^2} \right],$$

$$\begin{aligned} \bar{B}_i = & \sigma_i \frac{(3+3p_{i1}+p_{i1}^2)[2-(2+q_{i1})(1+q_{i1})]}{(3+q_{i1})(3+3q_{i1}+q_{i1}^2)} + \bar{\sigma}_{i+1} \left[\frac{(3+p_{i1})(3+q_{i1}+q_{i1}^2)}{(3+p_{i1})(3+3p_{i1}+p_{i1}^2)} + \right. \\ & \left. + \frac{3(3+3p_{i1}+p_{i1}^2)[(2+p_{i1})(2+q_{i1})-1]}{(3+p_{i1})(3+3p_{i1}+p_{i1}^2)} - \frac{2(2+p_{i1})(3+3q_{i1}+q_{i1}^2)}{3+3p_{i1}+p_{i1}^2} \right] + \\ & + \frac{3+3q_{i1}+q_{i1}^2}{3+q_{i1}} - \frac{3+3p_{i1}+p_{i1}^2}{3+p_{i1}} + \frac{3p_{i1}+p_{i1}^2-3q_{i1}-q_{i1}^2}{(3+p_{i1})(3+q_{i1})}, \end{aligned}$$

$$\begin{aligned} \bar{C}_i = & \frac{(1+q_{i1})(3+3p_{i1}+p_{i1}^2)}{(3+p_{i1})(3+q_{i1})} - \tau_i \left(\frac{3+3q_{i1}+q_{i1}^2}{3+q_{i1}} - \frac{3+3p_{i1}+p_{i1}^2}{3+p_{i1}} \right) - \\ & - \bar{\sigma}_i \frac{(3+3p_{i1}+p_{i1}^2)(3+q_{i1})}{(3+3q_{i1}+q_{i1}^2)(3+q_{i1})} - 3\bar{\sigma}_{i+1} \frac{(3+3p_{i1}+p_{i1}^2)[(2+p_{i1})(2+q_{i1})-1]}{(3+p_{i1})(3+3p_{i1}+p_{i1}^2)} + \\ & + \bar{\sigma}_{i+1} \frac{(2+p_{i1})(3+3q_{i1}+q_{i1}^2)}{3+3p_{i1}+p_{i1}^2}, \end{aligned}$$

$$\bar{D}_i = \left[-\tau_i + \frac{1}{3+q_{i1}} + \bar{\sigma}_{i+1} \frac{(2+p_{i1})(2+q_{i1})-1}{3+3p_{i1}+p_{i1}^2} \right] \cdot \frac{3+3p_{i1}+p_{i1}^2}{3+p_{i1}},$$

$$\bar{\sigma}_i = \sigma_i / (3+p_i), \quad \bar{\sigma}_{i+1} = \sigma_{i+1} / (3+q_{i1}).$$

Нетрудно видеть, что при $p_i = q_{i1}$ степень уравнения понижается до второй и оно принимает вид

$$a(\mu_{i1}) = \left[\frac{(2+p_{i1})(1+p_{i1})-2}{3+3p_{i1}+p_{i1}^2} \sigma_{i+1} - \frac{(2+q_{i1})(1+p_{i1})-2}{3+3q_{i1}+q_{i1}^2} \sigma_i \right] \frac{1}{3+p_i} \mu_{i1}^2 +$$

$$+ \left[\frac{1+p_i}{3+p_i} - \frac{3+q_i}{(3+p_i)(3+3q_i+q_i^2)} \sigma_i + \frac{3-(2+p_{i+1})(3+2p_{i+1})}{(3+p_i)(3+3p_{i+1}+p_{i+1}^2)} \sigma_{i+1} \right] \mu_{i+1} -$$

$$- \tau_i + \frac{1}{3+p_i} + \frac{(2+p_{i+1})(2+p_i)-1}{(3+p_i)(3+3p_{i+1}+p_{i+1}^2)} \sigma_{i+1} = 0. \quad (17)$$

Поскольку

$$\Phi(0) = -\tau_i + \frac{1}{3+p_i} + \frac{(2+p_{i+1})(2+p_i)-1}{(3+p_i)(3+3p_{i+1}+p_{i+1}^2)} \sigma_{i+1}, \quad (18)$$

$$\Phi(1) = 1 - \tau_i - \frac{1}{3+p_i} - \frac{(2+q_i)(2+p_i)-1}{(3+p_i)(3+3q_i+q_i^2)} \sigma_i,$$

то найдутся такие $\bar{p}_i, \bar{p}_{i+1}, \bar{q}_i$, что при всех $p_i \geq \bar{p}_i, p_{i+1} \geq \bar{p}_{i+1}, q_i \geq \bar{q}_i$ будем иметь $\Phi(0) < 0, \Phi(1) > 0$, и, следовательно, уравнение (17) имеет корень $\mu_{i+1} \in (0, 1)$.

Рассмотрим вопрос о выборе оставшихся свободными параметров p_i, q_i, p_{i+1} из соображений удовлетворения условиям изогеометрии и повышения порядка приближения.

Учитывая равенство $p_i = q_{i+1}$, перепишем (16) в виде

$$s'_{i+1} = s'_i + \mu_{i+1}(s'_{i+1} - s'_i) + \mu_{i+1}\lambda_{i+1} \frac{h_i}{2} \left[\frac{3+q_i}{3+3q_i+q_i^2} s''_i - \right.$$

$$\left. - \frac{3+p_{i+1}}{3+3p_{i+1}+p_{i+1}^2} s''_{i+1} \right]. \quad (19)$$

Считая $f(x)$ достаточно гладкой функцией, предположим, что $s'_j(x) - f'_j(x) = O(h_i^{k+1-r}), r = 1, 2; j = i, i+1; k = 2$ или $k = 3$.

Тогда

$$s'_{i+1} - f'_{i+1} = f'_{i+1} - f'_i + O(h_i^k) = h_i f''(x_i) + \frac{h_i^2}{2} f'''(x_i) + O(h_i^k)$$

и, привлекая (19), получаем

$$s'_{i+1} - f'(x_{i+1}) = s'_i - f'_i + \frac{h_i}{2} \left[\frac{3+q_i}{3+3q_i+q_i^2} - \frac{3+p_{i+1}}{3+3p_{i+1}+p_{i+1}^2} \right] \mu_{i+1} \lambda_{i+1} f''_i +$$

$$+ \frac{h_{i+1}(h_i - h_{i+1})}{2} \left(1 - \frac{3+p_{i+1}}{3+3p_{i+1}+p_{i+1}^2} \right) f_i''' + o(h_i^k).$$

Отсюда следует, что порядок погрешности приближения в точке x_{i+1} для производной сплайна повышается, если положить $p_{i+1} = q_i$. С учетом (15), (19) и равенств $p_i = q_{i+1}$, $q_i = p_{i+1}$ имеем

$$s(x_{i+1}) - f(x_{i+1}) = f_i + \alpha_i h_{i+1} - f(x_{i+1}) = -h_{i+1}^2 \frac{(1+q_i)(p_i+q_i+p_i q_i)}{2(3+p_i)(3+3q_i+q_i^2)} f_i'' + \\ + h_{i+1}^2 \frac{3q_i(2+q_i)(h_i - h_{i+1}) - h_{i+1} p_i(3+3q_i+q_i^2)}{(3+p_i)(3+3q_i+q_i^2)} f_i''' + o(h_i^{k+1}).$$

Поскольку

$$\frac{(1+q_i)(p_i+q_i+p_i q_i)}{(3+p_i)(3+3q_i+q_i^2)} \leq \frac{p_i+q_i+p_i q_i}{(3+p_i)(3+q_i)} \leq \\ \leq \frac{p_i(2+q_i)+q_i(2+p_i)}{2(2+p_i)(2+q_i)} = \frac{1}{2} \left(\frac{p_i}{2+p_i} + \frac{q_i}{2+q_i} \right),$$

то при $k=3$ максимальный порядок приближения $O(h_i^4)$ в точке x_{i+1} достигается при $p_i, q_i = O(h_i^2)$. При $p_i, q_i = O(1)$ порядок приближения снижается до $O(h_i^2)$.

Таким образом, общее требование при выборе параметров может состоять в минимизации выражения $p_i/(2+p_i) + q_i/(2+q_i)$.

Рассмотрим вопрос об изогеометрии рационального сплайна $s(x)$ на подотрезке $[x_i, x_{i+1}]$.

Условия (6), (7) выполняются по построению. Условие (8) означает отсутствие на $[x_i, x_{i+1}]$ точек перегиба функции с изогеометрией $f(x)$. Покажем, что для сплайна $s(x)$ это условие будет выполнено, если имеют место неравенства:

$$\begin{aligned} \min(\alpha_i, \beta_i) &< S_{i+1}' < \max(\alpha_i, \beta_i), \\ \min(S_{i+1}', \Delta_i) &< \alpha_i < \max(S_{i+1}', \Delta_i), \\ \min(S_{i+1}', \Delta_i) &< \beta_i < \max(S_{i+1}', \Delta_i). \end{aligned} \quad (20)$$

Из (15), учитывая (19), находим

$$\alpha_i = S'_{i+1} + \mu_{i+1} \frac{S'_{i+1} - S'_i}{3+p_i} \left[1 + \lambda_{i+1} \frac{3+q_i}{3+3q_i+q_i^2} (\sigma_i - \sigma_{i+1}) + \frac{(2+p_i)(2+q_i)-1}{3+3q_i+q_i^2} \sigma_i \right],$$

$$\beta_i = S'_{i+1} - \lambda_{i+1} \frac{S'_{i+1} - S'_i}{3+p_i} \left[1 - \mu_{i+1} \frac{3+q_i}{3+3q_i+q_i^2} (\sigma_i - \sigma_{i+1}) + \frac{(2+p_i)(2+q_i)-1}{3+3q_i+q_i^2} \sigma_{i+1} \right]. \quad (21)$$

Это позволяет записать условия (20) в виде следующих соотношений:

$$\frac{1}{3+p_i} \left[1 + \frac{\lambda_{i+1}(3+q_i)}{3+3q_i+q_i^2} (\sigma_i - \sigma_{i+1}) + \frac{(2+p_i)(2+q_i)-1}{3+3q_i+q_i^2} \sigma_i \right] <$$

$$< 1 + \lambda_{i+1} \frac{3+q_i}{3+3q_i+q_i^2} (\sigma_i - \sigma_{i+1}),$$

$$\frac{1}{3+p_i} \left[1 - \mu_{i+1} \frac{3+q_i}{3+3q_i+q_i^2} (\sigma_i - \sigma_{i+1}) + \frac{(2+p_i)(2+q_i)-1}{3+3q_i+q_i^2} \sigma_{i+1} \right] <$$

$$< 1 - \mu_{i+1} \frac{3+q_i}{3+3q_i+q_i^2} (\sigma_i - \sigma_{i+1}),$$

$$0 < \frac{\mu_{i+1}}{3+p_i} \left[1 + \frac{(3+q_i)\lambda_{i+1} + (2+p_i)(2+q_i)-1}{3+3q_i+q_i^2} \sigma_i - \frac{(3+q_i)\lambda_{i+1}}{3+3q_i+q_i^2} \sigma_{i+1} \right] < 1 - \tau_i,$$

$$0 < \frac{\lambda_{i+1}}{3+p_i} \left[1 + \frac{\mu_{i+1}(3+q_i) + (2+p_i)(2+q_i)-1}{3+3q_i+q_i^2} \sigma_{i+1} - \frac{(3+q_i)\mu_{i+1}}{3+3q_i+q_i^2} \sigma_i \right] < \tau_i.$$

В силу (18) для выполнения этих неравенств и условий $\Phi(0) < 0$, $\Phi(1) > 0$ достаточно выбрать параметры p_i, q_i так, чтобы имели место ограничения

$$\frac{1}{3+p_i} + \frac{3+q_i}{3+3q_i+q_i^2} \sigma_i < 1 - \tau_i, \quad \frac{1}{3+p_i} + \frac{3+q_i}{3+3q_i+q_i^2} \sigma_{i+1} < \tau_i. \quad (22)$$

Согласно формулам (II), (I9), (2I) находим

$$C_i = h_{i+1} \mu_{i+1} \frac{s'_{i+1} - s'_i}{3+p_i} \left[1 - \frac{3+q_i}{3+3q_i+q_i^2} (\mu_{i+1} \sigma_i + \lambda_{i+1} \sigma_{i+1}) \right].$$

При выполнении неравенств (22) выражение в квадратных скобках положительно, т.е. $\text{sign}(C_i) = \text{sign}(s'_{i+1} - s'_i)$. Так как $(s'_{i+1} - s'_i) \cdot s''_j \geq 0$, $j = i, i+1$, то согласно (I3) получаем $s''(x_{i+1}) \cdot s''(x_j) \geq 0$, $j = i, i+1$. Из (I2) имеем $s''(x) = C_i \varphi(p_i, t) + D_i \varphi(q_i, 1-t)$, $x \in [x_i, x_{i+1}]$, где

$$\varphi(p_i, t) = \frac{2p_i^2 t^3 - 6p_i(1+p_i)t^2 + 6(1+p_i)^2 t}{[1+p_i(1-t)]^3 h_{i+1}^2}.$$

Нетрудно проверить, что $\varphi(p_i, t) \geq 0$ для $t \in [0, 1]$ и, следовательно, $s''(x)s''(x_j) \geq 0$, $j = i, i+1$, $x \in [x_i, x_{i+1}]$. Аналогичный вывод получим, рассматривая подотрезок $[x_{i+1}, x_{i+2}]$. В результате функция $s''(x)$ будет выпуклой, а $s'(x)$ — монотонной на отрезке $[x_i, x_{i+1}]$. Так как по предположению $s'_i s'_{i+1} \geq 0$, то свойством монотонности обладает и функция $s(x)$.

Приведенное построение заканчивает доказательство достаточности условий теоремы о функциях с изогометрией из предыдущего параграфа.

§3. Числовой алгоритм построения функции с изогометрией

При доказательстве теоремы о функциях с изогометрией была описана процедура построения семейства рациональных сплайнов, удовлетворяющих условиям изогометрии. Теперь следует уточнить, как нужно выбирать значения производных сплайна в узлах сетки Δ и дополнительные точки перегиба, достигая однозначности в таком построении. Естественно стремиться к тому, чтобы получить рациональный сплайн $s(x)$, который лежал бы возможно ближе к функции с изогометрией $f(x)$.

Введем в рассмотрение многочлен Лагранжа n -й степени относительно точек (x_j, y_j) , $j = i, \dots, i+n$:

$$L_{n,i}(x) = f_i + f[x_i, x_{i+1}](x-x_i) + \dots + f[x_i, \dots, x_{i+n}](x-x_i) \dots (x-x_{i+n-1}), \quad (23)$$

где использовано стандартное обозначение для разделенных разностей $f[x_1, \dots, x_{i+k}] = (f[x_{i+1}, \dots, x_{i+k}] - f[x_1, \dots, x_{i+k-1}]) / (x_{i+k} - x_1)$.

Уточним вначале выбор значений производных во внутренних узлах сетки Δ , исходя из ограничений (I)-(5). При $\delta_i \neq 0$ положим

$$S_1^{(k)} = L_{3,i-2}^{(k)}(x_1) \text{ или } S_1^{(k)} = L_{3,i-1}^{(k)}(x_1), \quad k=1,2, \quad (24)$$

в зависимости от того, какие из этих значений удовлетворяют неравенствам (I). Это обеспечивает точность задания производных $O(h^{4-k})$, $h = \max_i h_i$ (см. [17]).

Если с помощью такого выбора $S_1^{(k)}$ ограничениям (I) удовлетворить не удастся, то полагаем $S_1^{(k)} = L_{2,i-1}^{(k)}(x_1)$, $k=1,2$. Последнее автоматически гарантирует выполнение неравенств (I), так как

$$L_{2,i-1}'(x_1) = \frac{h_i \Delta_{i-1} + h_{i-1} \Delta_i}{h_{i-1} + h_i}, \quad L_{2,i-1}''(x_1) = 2\delta_i.$$

Хотя такое понижение степени интерполяционного многочлена Лагранжа, вообще говоря, уменьшает порядок аппроксимации производных на единицу, точность задания S_1^j сохранится, если $\delta_j \delta_{j+1} > 0$, $j = i-1, i$. Действительно, так как

$$L_{3,i-2}'(x_1) = \Delta_{i-1} + \delta_{i-1} h_{i-1} + \frac{h_{i-1}(h_{i-2} + h_{i-1})}{h_{i-2} + h_{i-1} + h_i} (\delta_i - \delta_{i-1}), \quad (25)$$

$$L_{3,i-1}'(x_1) = \Delta_i - \delta_{i+1} h_i + \frac{(h_i + h_{i+1})h_i}{h_{i-1} + h_i + h_{i+1}} (\delta_{i+1} - \delta_i),$$

то

$$(L_{3,i-2}'(x_1) - \Delta_{i-1}) \delta_i > 0 \text{ при } \delta_{i-1} \delta_i > 0,$$

$$(\Delta_i - L_{3,i-1}'(x_1)) \delta_i > 0 \text{ при } \delta_i \delta_{i+1} > 0.$$

Следовательно, $(L_{3,i-2}'(x_1) - \Delta_{i-1})(\Delta_i - L_{3,i-1}'(x_1)) > 0$ и либо $L_{3,i-2}'(x_1) > \Delta_{i-1}$, либо $L_{3,i-1}'(x_1) < \Delta_i$, либо $L_{3,i-2}'(x_1) < \Delta_{i-1}$, либо $L_{3,i-1}'(x_1) > \Delta_i$. Мы предполагаем, что задание S_1^j с помощью (24) недопустимо из-за невыполнения неравенств (I). Поэтому с учетом сказанного выше или $L_{3,i-2}'(x_1) > \max(\Delta_{i-1}, \Delta_i)$, или $L_{3,i-1}'(x_1) < \min(\Delta_{i-1}, \Delta_i)$, или, наоборот, $L_{3,i-2}'(x_1) < \min(\Delta_{i-1}, \Delta_i)$, или $L_{3,i-1}'(x_1) > \max(\Delta_{i-1}, \Delta_i)$. В обоих случаях найдется такое число $\alpha \in (0,1)$,

что $L_{2,i-1}^i(x_i) = \alpha L_{3,i-2}^i(x_i) + (1-\alpha)L_{3,i-1}^i(x_i)$, т.е. точность задания S_i^i будет $O(h^3)^{\frac{3}{2}}$.

В случае $\delta_i = 0$, $\delta_{i-1}\delta_{i+1} < 0$, $2 \leq i \leq N-2$, положим

$$S_i'' = 0, \quad S_i^i = \begin{cases} L_{4,i-2}^i(x_i) & \text{при } L_{4,i-2}^i(x_i)\Delta_i \geq 0, \\ 0 & \text{в противном случае,} \end{cases}$$

где в соответствии с (23) выражение для значения производной многочлена Лагранжа четвертой степени имеет вид:

$$L_{4,i-2}^i(x_i) = \Delta_{i-1} + \delta_{i-1} \frac{h_{i-1}h_i(h_i+h_{i+1})}{(h_{i-2}+h_{i-1}+h_i)(h_{i-2}+h_{i-1}+h_i+h_{i+1})} - \delta_{i+1} \frac{h_{i-1}h_i(h_{i-2}+h_{i-1})}{h_{i-2}+h_{i-1}+h_i+h_{i+1}}.$$

Так как в данном случае $\Delta_{i-1} = \Delta_i$, то $(L_{4,i-2}^i(x_i) - \Delta_i)\delta_{i-1} > 0$ и ограничения (2) будут выполнены. Отметим, что для достаточно гладкой функции с изогеометрией $f(x)$ будет также выполнено неравенство $|S_i^i - L_{4,i-2}^i(x_i)| \leq |f'(x_i) - L_{4,i-2}^i(x_i)| = O(h^4)$.

При $\delta_i = 0$ положим

$$S_i'' = 0, \quad S_i^i = \begin{cases} L_{3,0}^i(x_i) & \text{при } L_{3,1}^i(x_i)\Delta_i \geq 0, \\ 0 & \text{в противном случае,} \end{cases}$$

а при $\delta_{N-1} = 0$

$$S_{N-1}'' = 0, \quad S_{N-1}^i = \begin{cases} L_{3,N-3}^i(x_{N-1}) & \text{при } L_{3,N-3}^i(x_{N-1})\Delta_{N-1} \geq 0, \\ 0 & \text{в противном случае.} \end{cases}$$

Привлекая (25), нетрудно убедиться, что ограничения (3) будут удовлетворены.

Корректировку значений первой и второй производных в узлах x_0, x_N осуществляем по формулам:

при $\delta_i \neq 0$

$$S_0'' = L_{2,0}''(x_0), \quad S_0^i = \begin{cases} L_{2,0}^i(x_0) & \text{при } L_{2,0}^i(x_0)\Delta_0 \geq 0, \\ 0 & \text{в противном случае;} \end{cases}$$

*) Примечание редактора. Рассмотренная ситуация, как нетрудно видеть, возможна только при достаточно больших h , когда рассуждения о порядке приближения не имеют особого смысла. Для всех достаточно малых h выбор производных по формулам (24) всегда удовлетворяет ограничениям (1).

$$\begin{aligned}
& \text{при } \delta_1 = 0 \\
S''_0 &= L''_{3,0}(x_0), \quad S'_0 = \begin{cases} L'_{3,0}(x_0) & \text{при } L'_{3,0}(x_0)\Delta_0 \geq 0, \\ 0 & \text{в противном случае;} \end{cases} \\
& \text{при } \delta_{N-1} \neq 0 \\
S''_N &= L''_{2,N-2}(x_N), \quad S'_N = \begin{cases} L'_{2,N-2}(x_N) & \text{при } L'_{2,N-2}(x_N)\Delta_{N-1} \geq 0, \\ 0 & \text{в противном случае;} \end{cases} \\
& \text{при } \delta_{N-1} = 0 \\
S''_N &= L''_{3,N-3}(x_N), \quad S'_N = \begin{cases} L'_{3,N-3}(x_N) & \text{при } L'_{3,N-3}(x_N)\Delta_{N-1} \geq 0, \\ 0 & \text{в противном случае.} \end{cases}
\end{aligned}$$

Непосредственная проверка выполнения ограничений (4), (5) не представляет затруднений.

В результате во всех узлах сетки Δ будут заданы удовлетворяющие условиям изогеометрии значения производных $S'_i(x)$, $k = 1, 2$.

Рассмотрим теперь вопрос о выборе дополнительных точек перегиба. Как было указано при доказательстве теоремы о функциях с изогеометрией, если исходные данные таковы, что $\delta_i \delta_{i+1} < 0$, то на отрезке $[x_i, x_{i+1}]$ в дополнение к узлам сетки Δ необходимо ввести точку перегиба \bar{x} . В этой точке перегиба следует задать значение $S'(\bar{x})$ (по определению полагаем $S''(\bar{x}) = 0$).

Итак, пусть $\delta_i \delta_{i+1} < 0$. На отрезке $[x_i, x_{i+1}]$ рассмотрим эрмитов кубический многочлен

$$S_{3,2}(x) = S_i + h_i t^2(3-2t)\Delta_i + h_i t(1-t)^2 S'_i - h_i t^2(1-t)S'_{i+1},$$

где $t = (x - x_i)/h_i$, $h_i = x_{i+1} - x_i$. Из требования $S''_{3,2}(x) = 0$ находим

$$x = \bar{x}_0 = x_i + t^* h_i, \quad t^* = \frac{1}{3} (3\Delta_i - 2S'_i - S'_{i+1}) / (2\Delta_i - S'_i - S'_{i+1}),$$

и так как в силу условия $\delta_i \delta_{i+1} < 0$ в данном случае

$$\Delta_i < \min(S'_i, S'_{i+1}) \quad \text{или} \quad \Delta_i > \max(S'_i, S'_{i+1}), \quad (26)$$

то $t^* \in (0, 1)$ и, значит, точка перегиба $\bar{x}_0 \in (x_i, x_{i+1})$.

Последовательно рассмотрим следующие ситуации.

а) Если выполняется условие

$$\min(S_i, S_{i+1}) < S_{3,2}(\bar{x}_0) < \max(S_i, S_{i+1}), \quad (27)$$

то в качестве точки перегиба берется \bar{x}_0 и полагается

$$S'(\bar{x}_0) = \begin{cases} S'_{3,2}(x_0) & \text{при } S'_{3,2}(\bar{x}_0)\Delta_i \geq 0, \\ 0 & \text{в противном случае.} \end{cases}$$

б) Требование (27) не выполняется. Из условия $S'_{3,2}(x) = 0$ находим

$$\bar{x}_{1,2} = \bar{x}_0 \pm \tilde{t}h_1, \quad \tilde{t} = \frac{1}{3} \sqrt{(s'_1 + s'_{i+1} - 3\Delta_1)^2 - s'_1 s'_{i+1}} / (s'_1 + s'_{i+1} - 2\Delta_1),$$

и в качестве точки перегиба берется та из точек \bar{x}_1, \bar{x}_2 , для которой выполнены неравенства (27). В этой точке полагаем $S'(\bar{x}_k) = 0$.

в) Если с помощью точек $\bar{x}_{1,2}$ ограничениям (27) удовлетворить не удастся, то в качестве точки перегиба берется точка пересечения графика функции $S_{3,2}(x)$ с отрезком прямой, соединяющей точки (x_1, s_1) , (x_{i+1}, s_{i+1}) . Находим $\bar{x}_3 = x_1 + \hat{t}h_1$, $\hat{t} = (\Delta_1 - s'_1) / (2\Delta_1 - s'_1 - s'_{i+1})$, причем в силу (26) здесь $\hat{t} \in (0, 1)$, и, следовательно, $\bar{x}_3 \in (x_1, x_{i+1})$. В данном случае полагаем $S'(\bar{x}_3) = 0$. Отметим, что

$$\bar{x}_3 - \bar{x}_0 = (\hat{t} - t^*)h_1 = \frac{h_1}{3} (s'_{i+1} - s'_1) / (2\Delta_1 - s'_1 - s'_{i+1}),$$

и поэтому точки \bar{x}_3, \bar{x}_0 совпадают лишь при $s'_i = s'_{i+1}$.

Известно [18], что эрмитов кубический многочлен дает приближение интерполируемой функции с порядком $O(h^4)$. В силу построения этот порядок имеет место для всех трех случаев "а"- "в".

Теперь остается убедиться в том, что на тех отрезках $[x_1, x_{i+1}]$, на концах которых значения производных не корректировались, соответствующий эрмитов кубический многочлен $S_{3,2}(x)$ будет монотонен (выпуклость имеет место в силу линейности $S'_{3,2}(x)$). Это достигается с помощью проверки необходимых и достаточных условий монотонности Фрича-Карлсона [7]:

$$0 \leq d_i, \quad e_i \leq 3 \quad \text{или} \quad d_i - \frac{1}{3} \cdot \frac{(2d_i + e_i - 3)^2}{(d_i + e_i - 2)} \geq 0,$$

где $d_i = s'_i / \Delta_i$, $e_i = s'_{i+1} / \Delta_i$. Если эти соотношения не выполняются, то на $[x_1, x_{i+1}]$ следует рассмотреть построение рационального сплайна. Такое же построение проводится, если на концах подотрезка $[x_1, x_{i+1}]$ значения производных были изменены.

Резюмируем основные этапы алгоритма построения сохраняющего изогеометрию рационального сплайна $S(x)$, исходя из возможности его обобщения.

Шаг I. Построение по исходным данным на сетке Δ сплайна $\tilde{S}(x)$ класса C^2 . Это может быть стандартный кубический сплайн

или, например, локально-аппроксимационный сплайн. В последнем случае требуется заменить в узлах сетки Δ значения y_i на $\tilde{S}(x_i)$.

Шаг 2. Корректировка значений первой и второй производных сплайна $\tilde{S}(x)$ в узлах сетки Δ , исходя из требований изогеометрии, и выбор расширяющих сетку Δ дополнительных точек перегиба.

Шаг 3. Проверка условий монотонности и выпуклости на подотрезках, где значения производных не менялись. При невыполнении этих условий, а также в случае корректировки конечных значений производных построение на соответствующих подотрезках рациональных сплайнов.

В итоге реализации этого алгоритма будет построен рациональный сплайн, являющийся функцией с изогеометрией.

§4. Примеры

Описанный алгоритм изогеометрической интерполяции был апробирован на ряде тестовых примеров.

Данные для первого примера взяты из [18]. Рассматривается интерполяция функции $f(x) = 1 - [\exp(100x) - 1] / [\exp(100) - 1]$, $x \in [0, 1]$, на равномерной сетке: $x_i = i/10$, $i = 0, \dots, 10$. На рис. 1 (и далее) штриховой и сплошной линиями показаны графики обычного кубического сплайна $S_3(x)$ класса C^2 и рационального сплайна $S(x)$ соответственно. В обоих случаях использованы краевые условия $S'_0 = 0$, $S'_{10} = -100$. Сплайн $S_3(x)$ дает неприемлемые осцилляции. Амплитуду последних можно уменьшить введением неравномерной сетки со сгущением узлов в области большого градиента или выбором соответствующей параметризации. В то же время максимальное отклонение рационального сплайна $S(x)$ от интерполируемой функции в данном примере не превосходит 0,078, причем поведение $S(x)$ согласовано по монотонности и выпуклости с $f(x)$.

Во многих работах по изогеометрической интерполяции (см., например, [8, 12]) алгоритмы тестируются на данных из [19], приведенных в табл. 1. Для этих данных на рис. 2 представлены графики сплайнов $S_3(x)$ и $S(x)$. Последний имеет точку перегиба \bar{x} на $[x_8, x_9]$ и по одному дополнительному узлу на участках $[x_i, x_{i+1}]$, $i = 5, 6$, $[x_8, \bar{x}]$, $[\bar{x}, x_9]$. По сравнению с приведенными в [8, 12] профилями сплайн $S(x)$ наряду с сохранением свойств монотонности и выпуклости исходных данных ближе всего расположен к $S_3(x)$.

В [20] рассмотрен пример интерполяции функции $f(x) = 2 - \sqrt{x(2-x)}$, $0 \leq x \leq 2$, задающей полуокружность. Эта функция ин-

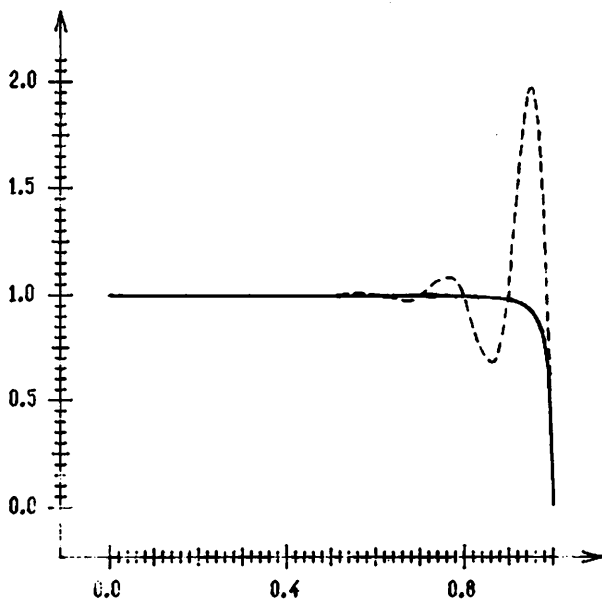


Рис. 1

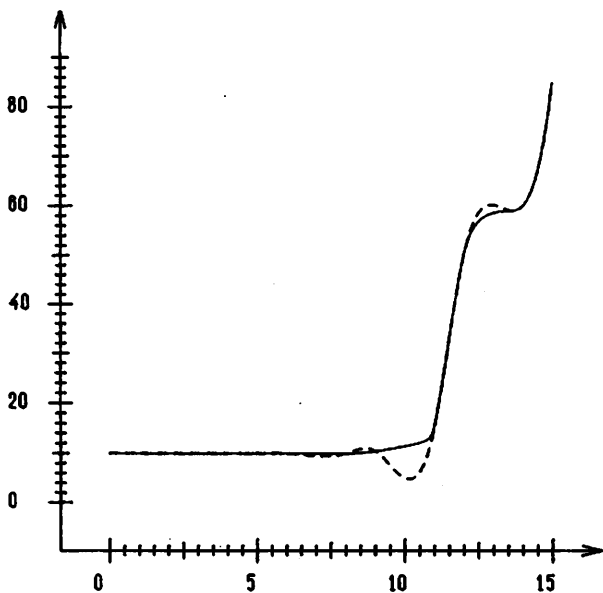


Рис. 2

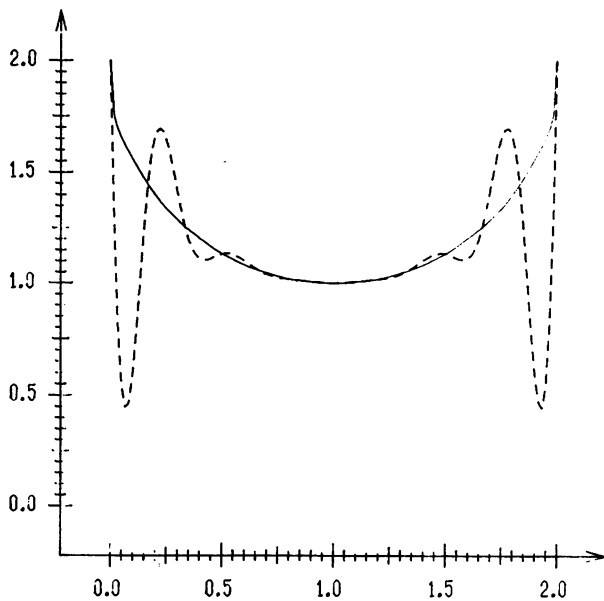


Рис. 3

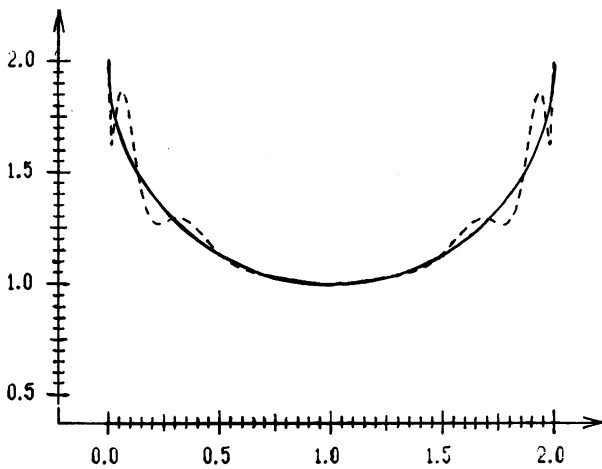


Рис. 4

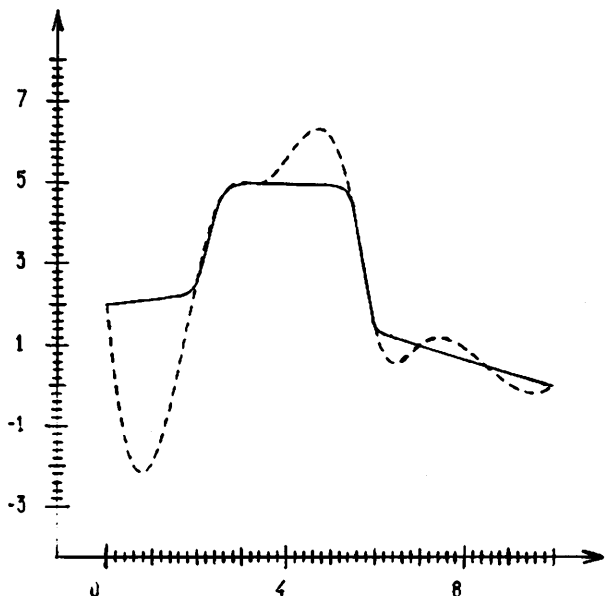


Рис. 5

Т а б л и ц а 1

| | | | | | | | | | | | |
|-------|----|----|----|----|----|----|------|----|----|----|----|
| i | 0 | 1 | 2 | 3 | 4 | 5 | 6 | 7 | 8 | 9 | 10 |
| x_i | 0 | 2 | 3 | 5 | 6 | 8 | 9 | 11 | 12 | 14 | 15 |
| f_i | 10 | 10 | 10 | 10 | 10 | 10 | 10.5 | 15 | 56 | 60 | 85 |

Т а б л и ц а 2

| | | | | | | | | | |
|-------|---|-----|-----|-----|-----|-----|---|-----|----|
| i | 0 | 1 | 2 | 3 | 4 | 5 | 6 | 7 | 8 |
| x_i | 0 | 2 | 2.5 | 3.5 | 5.5 | 6.0 | 7 | 8.5 | 10 |
| f_i | 2 | 2.5 | 4.5 | 5 | 4.5 | 1.5 | 1 | 0.5 | 0 |

терполируется на сетке, равномерной по x (рис.3) и по длине дуги (рис.4). В обоих случаях было взято 13 узлов интерполяции и использованы краевые условия $s'_0 = -50$, $s'_{12} = 50$. Видно, что переход к сетке с постоянным шагом по длине дуги позволяет уменьшать осцилляции сплайна $s_3(x)$, но не устраняет их. Рациональный сплайн $s(x)$ опять сохраняет свойства монотонности и выпуклости исходных данных.

Рис. 5 иллюстрирует интерполяцию данных из [2] (табл.2). Здесь использован вариант алгоритма, когда из условий $\delta_{N-1} = 0$, $\delta_{N-2} \neq 0$ и $\Delta_{N-3}\Delta_{N-2} > 0$ следует прямолинейность сплайна на отрезке $[x_{N-2}, x_N]$.

Полученные профили рационального сплайна, сохраняющего свойства интерполируемых данных, характеризуют предлагаемый в работе алгоритм как достаточно универсальный.

Л и т е р а т у р а

1. SCHWEIKERT D.G. An interpolating curve using a spline in tension//J.math.phys.-1966.-Vol.45.- P.312-317.
2. SPÄTH H. Spline-Algorithmen zur Konstruktion glatter Kurven und Flächen.- München, Germany: R.Oldenbourg Verlag, 1973. - 134 с.
3. NIELSON G.M. Some piecewise polynomial alternatives to splines under tension// Computer aided design/ Ed.by R.E.Barnhill and R.F.Riesenfeld.- New York, 1974.- P.209-235.
4. Де БОР К. Практическое руководство по сплайнам.-М.: Радио и связь, 1985. - 303 с.
5. ГРЕБЕННИКОВ А.И. Изогеометрическая аппроксимация функций //Числ. анализ на ФОРТРАНе. Методы и алгоритмы. - М., 1978.-С.48-55.
6. ГРЕБЕННИКОВ А.И. Метод сплайнов и решение некорректных задач теории приближений. -М., 1983. - 207 с.
7. FRITSCH F.N., CARLSON R.E. Monotone piecewise cubic interpolation// SIAM J.Numer.Anal.-1980.-Vol.17,N 2.- P.238-246.
8. EISENSTAT S.E., JACKSON K.R., LEWIS J.W. The order of monotone piecewise cubic interpolation// SIAM J.Numer.Anal. - 1985. - Vol.22,N 6.- P.1220-1237.
9. ВОРОНИН Б.Т. Построение сплайнов, сохраняющих изогеометрию. - Новосибирск, 1982. - 19 с. -(препринт/ВЦ СО АН СССР;#404).
10. SCHUMAKER L.L. On shape preserving quadratic spline interpolation// SIAM J.Numer.Anal.-1983.-Vol.20,N 4.-P.854-864.
11. КОБКОВ В.В. Кубические и квадратические сплайны с дополнительными узлами и их применение к интерполяции функций: Автореф. дис. ... канд. физ.-мат. наук: 01.01.07.-Новосибирск, 1983.- 16 с.
12. DELBOURGO R., GREGORY J.A. Shape preserving piecewise rational interpolation// SIAM J.Sci.and statist.comput.- 1985. - Vol.6,N 4. - P.967-976.
13. МИРОШНИЧЕНКО В.Л. Интерполяция функций с большими градиентами //Методы аппроксимации и интерполяции. - Новосибирск, 1980. - С. 98-107.
14. КВАСОВ Б.И. Интерполяция рациональными параболическими сплайнами //Численные методы механики сплошной среды. - Новосибирск, 1984. - Т.15, #4. - С.60-70.

15. PRUESS S. Alternatives to the exponential spline in tension// Math.comput.- 1979.- Vol.33.-P.1273-1281.

16. MIROSHNICHENKO V.L. Convex and monotone spline interpolation// Constructive theory of functions'84. - Sofia, 1984. - P.610-620.

17. МИРОШНИЧЕНКО В.Л. О погрешности приближения интерполяционными многочленами Лагранжа третьей степени //Приближение сплайнами. - Новосибирск, 1984. - Вып.106: Вычислительные системы.-С.3-24.

18. ЗАВЬЯЛОВ Ю.С., КВАСОВ Б.И., МИРОШНИЧЕНКО В.Л. Методы сплайн-функций. - М.: Наука, 1980. - 352 с.

19. AKIMA H. A new method of interpolation and smooth curve fitting based on local procedures// J.Assoc.comput.math.- 1970. - Vol.17. - P.589-602.

20. GREGORY J.A. Shape preserving rational spline interpolation// Lectures Notes Math.- 1984. - N 1105.- P.431-441.

Поступила в ред.-изд.отд.
22 апреля 1987 года